

Traitement de l'image et du signal

Partie TI

Emanuel Aldea <emanuel.aldea@u-psud.fr>
<http://hebergement.u-psud.fr/emi/453>

Master Electronique, énergie électrique, automatique 1^{ère} année

Estimation robuste

Cadre du problème :

- ▶ observations fournies par les images
 - ▶ points d'intérêt, contours, régions etc.
 - ▶ associations : appariements, champs de flot optique, etc.
- ▶ une partie importante des observations générée par un modèle mathématique défini par un ensemble θ de paramètres

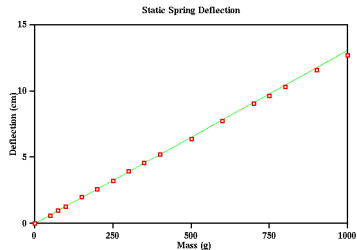
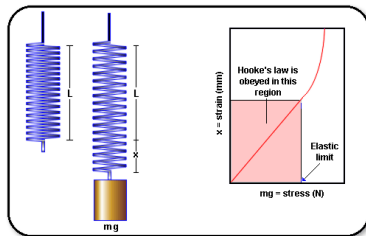
Objectif

- ▶ déterminer les paramètres θ
 - ▶ en robotique : souvent une information de déplacement
 - ▶ suivi de cibles
 - ▶ état d'un système physique etc.
- ▶ nombre d'observations largement suffisant pour inférer θ mais
- ▶ présence des valeurs aberrantes (outliers) qui ne respectent pas le modèle

Exemple jouet

La constante d'élasticité d'un ressort

- ▶ loi de Hooke : $F = kx$
- ▶ objectif : $\theta = \{k\}$
 - ▶ on varie N fois la force appliquée, on mesure la déformation
 - ▶ N observations $\{(F_i, x_i)\}$
 - ▶ ensemble minimal de mesures pour déterminer θ : $K = 2$
 - ▶ en pratique on utilise les N observations pour une estimation par moindres carrés , à cause du bruit de mesure
- ▶ pas de outliers, tout s'explique par le modèle considéré



Exemple en vision

Estimation de l'ego-mouvement

- ▶ N observations $\{x_i\}_{1 \leq i \leq N}$ (une obs. par pixel)
- ▶ ensemble minimal de taille K , $N \gg K$
- ▶ objectif : $\theta = \{\mathbf{R}, \mathbf{t}\}$
- ▶ un algorithme f qui fournit $\theta = f(x_1, \dots, x_K)\}$
- ▶ problème : hypothèse de scène statique
- ▶ éléments dynamiques \Rightarrow observations qui ne respectent pas le modèle θ

Objectif : déterminer θ et les observations valides



T. image et signal

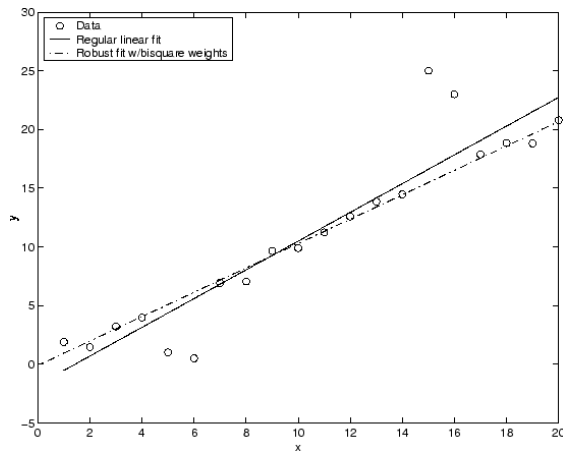


Chap II : Estimation robuste

Source du problème

Influence des outliers

- ▶ on ne peut pas ignorer les outliers et déterminer les paramétrés du modèle



- ▶ les méthodes de type moindres carrés sont très sensibles aux outliers à cause de la fonction d'erreur quadratique $\rho(r_i) = r_i^2$

Deux types d'approches

Analyse de l'ensemble des résidus

- ▶ Least Median of Squares (LMedS) ; on remplace la somme par la médiane des résidus :

$$\min_{\theta} \text{med } \rho(r_i)$$

- ▶ Least Trimmed Squares (LTS) ; tri des résidus et sélection des premiers $N/2 < M < N$

$$\min_{\theta} \sum_{i=1}^M \rho(r_i)$$

- ▶ Recherche exhaustive nécessaire par K-tuples ; breakdown point $\sim 50\%$

Modification de ρ

Utilisation à la place de l'erreur quadratique d'une autre fonction symétrique, définie positive (voir Huber, Tukey etc.) Breakdown point inférieur à $1/K$

Dans tous les cas, on sépare les inliers et seulement après on peut appliquer une LMS classique.

RANSAC

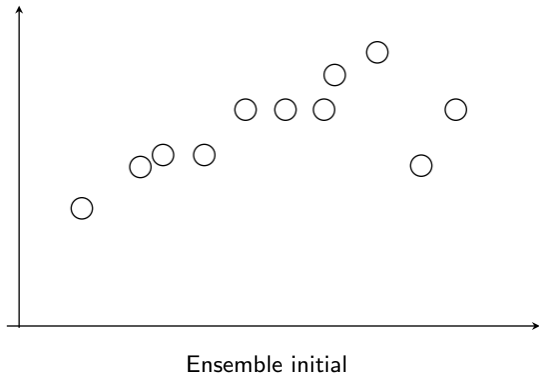
Random Sample Consensus

1. Pour T itérations / Tant qu'il reste du temps de calcul
 - ▶ sélection aléatoire de K observations
 - ▶ détermination exacte de θ
 - ▶ calcul cardinal du support pour θ : $\{x_i \mid t.q \rho(x_i, \theta) < \tau\}$
2. validation de $\hat{\theta}$ ayant le plus grand support
3. calcul de $\tilde{\theta}$ par moindres carrés sur le support de $\hat{\theta}$

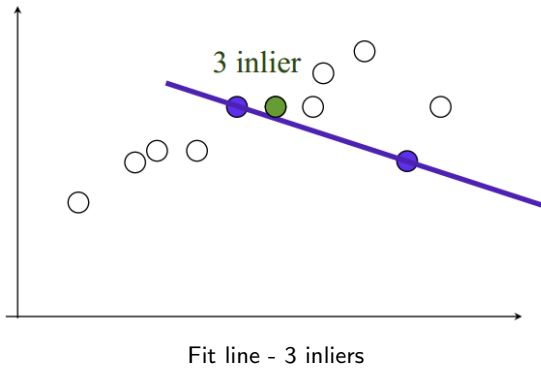
Paramètres

- ▶ τ pour l'inclusion dans le support
- ▶ le nombre de tirages P
- ▶ dépendent de l'application et de la proportion d'outliers

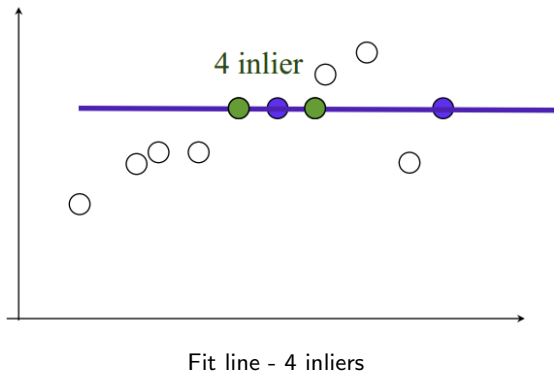
Exemple en 2D



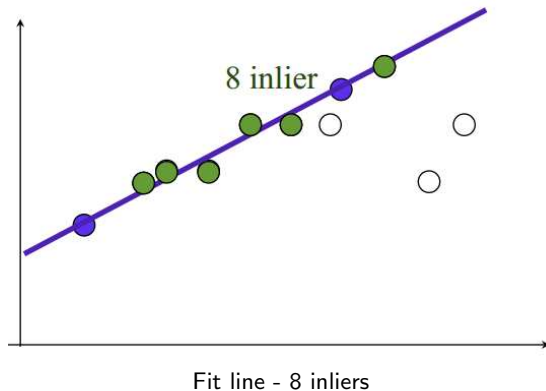
Exemple en 2D



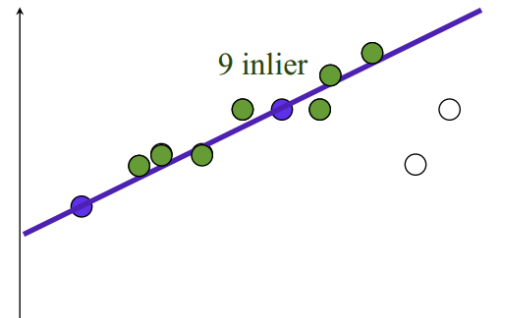
Exemple en 2D



Exemple en 2D

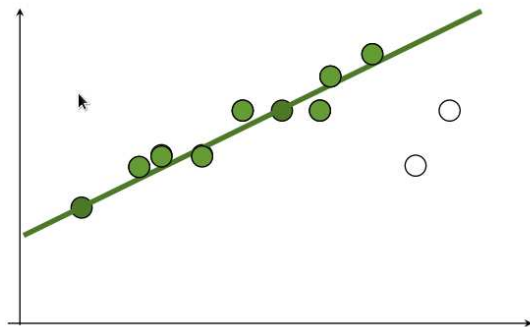


Exemple en 2D



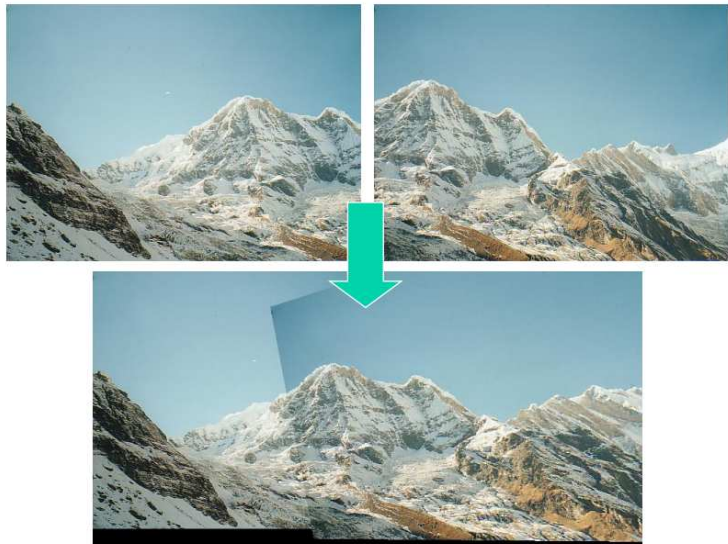
Fit line - 9 inliers

Exemple en 2D



Estimation finale par moindre carrés

Reconstruction panoramique



Objectif de l'opération

T. image et signal

Chap II : Estimation robuste

Reconstruction panoramique

Problème

- ▶ Détection de points d'intérêt et association
- ▶ Observation de type (x, y, x', y') : le coin (x, y) dans la première image est associé au coin (x', y') dans la deuxième image
- ▶ si rotation pure de la camera entre les deux images $\tilde{x}' = \mathbf{H}\tilde{x}$ ou :

$$\begin{bmatrix} wx' \\ wy' \\ w \end{bmatrix} = \begin{bmatrix} h_{00} & h_{01} & h_{02} \\ h_{10} & h_{11} & h_{12} \\ h_{20} & h_{21} & h_{22} \end{bmatrix} \begin{bmatrix} x \\ y \\ 1 \end{bmatrix}$$

- ▶ en développant

$$\begin{cases} x' = \frac{h_{00}x + h_{01}y + h_{02}}{h_{20}x + h_{21}y + h_{22}} \\ y' = \frac{h_{10}x + h_{11}y + h_{12}}{h_{20}x + h_{21}y + h_{22}} \end{cases}$$

Reconstruction panoramique

Problème

- les inconnues étant les différents h_{ij}

$$\begin{cases} x'(h_{20}x + h_{21}y + h_{22}) &= h_{00}x + h_{01}y + h_{02} \\ y'(h_{20}x + h_{21}y + h_{22}) &= h_{10}x + h_{11}y + h_{12} \end{cases}$$

$$\begin{bmatrix} x & y & 1 & 0 & 0 & 0 & -x'x & -x'y & -x' \\ 0 & 0 & 0 & x & y & 1 & -y'x & -y'y & -y' \end{bmatrix} \begin{bmatrix} h_{00} \\ h_{01} \\ h_{02} \\ h_{10} \\ h_{11} \\ h_{12} \\ h_{20} \\ h_{21} \\ h_{22} \end{bmatrix} = \begin{bmatrix} 0 \\ 0 \end{bmatrix}$$

Reconstruction panoramique

$$\begin{bmatrix} x_1 & y_1 & 1 & 0 & 0 & 0 & -x'_1x_1 & -x'_1y_1 \\ 0 & 0 & 0 & x_1 & y_1 & 1 & -y'_1x_1 & -y'_1y_1 \\ \vdots & \vdots \\ x_n & y_n & 1 & 0 & 0 & 0 & -x'_nx_n & -x'_ny_n \\ 0 & 0 & 0 & x_n & y_n & 1 & -y'_nx_n & -y'_ny_n \end{bmatrix} \begin{bmatrix} h_{00} \\ h_{01} \\ h_{02} \\ h_{10} \\ h_{11} \\ h_{12} \\ h_{20} \\ h_{21} \end{bmatrix} = \begin{bmatrix} x'_1 \\ y'_1 \\ x'_n \\ y'_n \end{bmatrix}$$

H est déterminée modulo un facteur multiplicatif, donc on peut fixer h_{22} à 1. On retient donc que pour le problème d'estimation de l'homographie $K = 4$. Il faut donc résoudre $\mathbf{Ah} = \mathbf{b}$.

Si $n > 4$ le système est surdéterminé. En général pour trouver la solution par moindres carrés de $\mathbf{Ah} = \mathbf{b}$ il faut :

1. calculer la décomposition en valeurs singulières (la SVD) de \mathbf{A} : $\mathbf{A} = \mathbf{UDV}^T$
2. calculer $\mathbf{b}' = \mathbf{U}^T\mathbf{b}$
3. trouver \mathbf{y} défini par $y_i = b'_i/d_i$
4. la solution est $\mathbf{h} = \mathbf{V}\mathbf{y}$

Définition de la segmentation

- ▶ Subdiviser l'image en structures :
 - ▶ des objets,
 - ▶ des régions
 - ▶ $\cup_{i=1}^N R_i = X$
 - ▶ $R_i \cap R_j = \emptyset$
 - ▶ $\forall i, R_i$ est connexe
- ▶ Objets : une forme particulière, par exemple :
 - ▶ des points,
 - ▶ des segments de droites,
 - ▶ des contours,
 - ▶ des formes plus complexes

Définition de la segmentation

- ▶ Régions : pas d'hypothèse particulière sur la forme mais des propriétés sur la distribution des niveaux de gris supposés vérifiées en tout point de la région, par exemple :
 - ▶ homogénéité en niveau de gris,
 - ▶ texture particulière.
- ▶ des régions qui vérifient à la fois des critères de forme et de texture.
- ▶ le Graal du traitement de l'image : un sujet difficile, une méthode (imparfaite) traite un cas particulier.

Qu'est-ce que c'est une bonne segmentation ?



Qu'est-ce que c'est une bonne segmentation ?



a : 4 régions



b : 16 régions



c : 20 régions



d : 41 régions



e : 79 régions

Segmentation par découpage

- ▶ Construire une représentation en *Quadtree* de l'image.

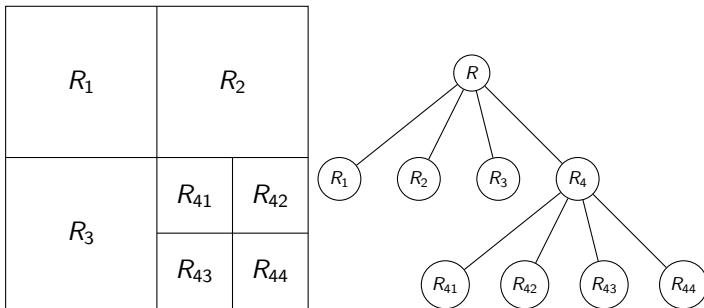


FIGURE – Décomposition en *Quadtree*

- ▶ Dans chaque région, un critère d'homogénéité de la répartition des niveaux de gris (ou des couleurs) est respectée.

Segmentation par découpage

- ▶ Pour décider du découpage d'une région R en 4 sous-régions, on se donne un critère (à préciser ultérieurement), appelé aussi prédictat, qui décide si une région est homogène ou non.
- ▶ Soit un algorithme

```
algo pred(R:region): boolean;
```

qui retourne VRAI lorsque le critère d'homogénéité est vérifié pour la région R , et FAUX sinon.

- ▶ On cherche à découper l'image en régions R_i telles qu'à la fin de l'algorithme on ait :
 1. $I = \bigcup_i R_i$ et $R_i \cap R_j = \emptyset$
 2. $\text{Pred}(R_i) = \text{VRAI}$

Segmentation par découpage

- ▶ Un tel algorithme est facilement implanté récursivement :

```
algo split_rec( I:image , R:region , qt: arbre 4-aire)
    si pred(R) = FAUX et taille(R) > rmin alors
        qt.no := creer_noeud();
        qt.ne := creer_noeud();
        qt.so := creer_noeud();
        qt.se := creer_noeud();
        split_rec(I,R.nord_ouest,qt.no);
        split_rec(I,R.nord_est,qt.ne);
        split_rec(I,R.sud_ouest,qt.so);
        split_rec(I,R.sud_est,qt.se);
    fin si
fin algo
```

Segmentation par découpage

```
algo split( I:image): arbre 4-aire
    racine := creer_noeud();
    split_rec( I, dims(I), racine);
    split := racine;
fin algo
```

- ▶ En pratique, chaque noeud *qt* de l'arbre doit contenir les informations suivantes :
 - ▶ coordonnées de la région (un rectangle),
 - ▶ statistiques diverses sur la région *image*, utile pour calculer le critère de découpage.

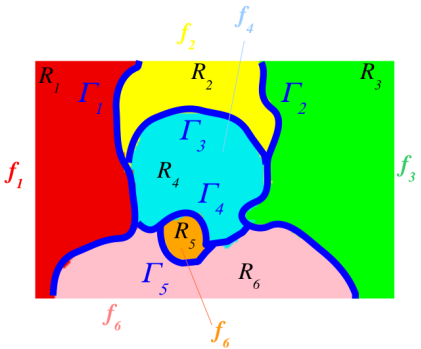
Segmentation par découpage

- ▶ Dépendra des propriétés que l'on souhaite voir vérifiées par chaque région après segmentation.
- ▶ Homogénéité des niveaux de gris :
 - ▶ après segmentation chaque région est homogène dans sa distribution des valeurs de niveaux de gris : la variance de la région est plus petite qu'un seuil à fixer.
 - ▶ Remarque : une région réduite à un pixel est de variance nulle.
- ▶ Homogénéité en texture/couleurs : non abordée dans ce cours d'initiation.
- ▶ Taux de contours réduit : appliquer un détecteur de contours dans la région R et découper si :

$$\tau = \frac{|\text{points de contours}|}{|R| - |\text{points de contours}|} > \text{seuil}$$

- ▶ Critère mixte (homogénéité, taux de contours).

Segmentation par optimisation



Determination d'une fonction f bidimensionnelle, constante par morceaux, proche de l'image I , avec une partition simple dpdv. géométrique. Fonctionnelle de coût :

$$K = \sum_i \iint_{R_i} (I(x, y) - f_i)^2 dx dy + \mu \sum_j \int_{\Gamma_j} dl$$

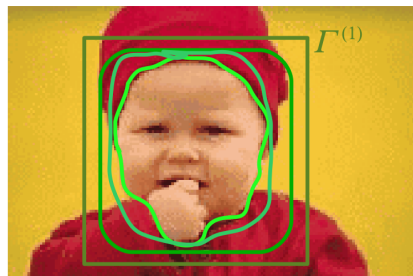
Segmentation par optimisation

$$K = \sum_i \iint_{R_i} (I(x, y) - f_i)^2 dx dy + \mu \sum_j \int_{\Gamma_j} dl$$

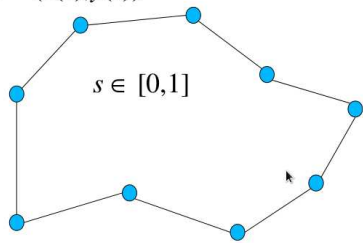
Pas de solution directe au problème de minimisation. Il y a deux techniques pour approcher la solution

- ▶ méthodes variationnelles sur des courbes fermées
- ▶ méthodes markoviennes par itération à partir d'une segmentation initiale

Active contours



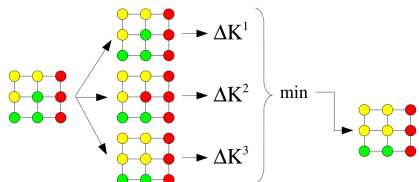
$$C(s) = (x(s), y(s))$$



Fonctionnelle de coût $E = E_i + E_e$ où :

- ▶ $E_i = \int_0^1 \alpha(C'(s))^2 ds$ pénalise la longueur du snake
- ▶ $E_e = \int_0^1 -\nabla I(x(s), y(s))ds$ favorise l'alignement sur les forts gradients

Techniques markoviennes



Fonctionnelle de coût

$$K = \sum_i \iint_{R_i} (I(x, y) - f_i)^2 dx dy + \mu \sum_j \int_{\Gamma_j} dl$$

- ▶ partir d'une segmentation préalable (sur-segmentation)
- ▶ ajuster localement les labels de chaque pixel de façon à diminuer la fonction de coût